

## پیش‌بینی ناپایداری گذرا و جزیره‌شدگی ناخواسته سیستم قدرت با استفاده از اطلاعات PMU

صادق کمالی<sup>۱</sup>، تورج امرایی<sup>۲</sup>

<sup>۱</sup> فارغ‌التحصیل دکتری برق، گروه قدرت، دانشگاه صنعتی خواجه نصیرالدین طوسی، s.kamali@ee.kntu.ac.ir

<sup>۲</sup> دانشیار، دانشکده مهندسی برق، گروه قدرت، دانشگاه صنعتی خواجه نصیرالدین طوسی، amraee@eetd.ac.ir

دریافت: ۱۳۹۵/۱۰/۲۰

ویرایش اول: ۱۳۹۶/۰۵/۲۱ ویرایش دوم: ۱۳۹۶/۰۷/۱۰ ویرایش سوم: ۱۳۹۶/۰۹/۰۳ ویرایش چهارم: ۱۳۹۷/۰۷/۰۸

پذیرش: ۱۳۹۷/۰۷/۲۷

**چکیده:** در این مقاله یک الگوریتم برای پیش‌بینی جزیره‌شدگی ناخواسته ارائه شده است. در این الگوریتم برای پیش‌بینی جزیره‌شدگی ناخواسته رفتارسیگنال زمانی اندازه‌گیری شده سرعت و زاویه روتور ژنراتورهای سنکرون توسط یک تابع هدف مورد بررسی قرار گرفته است. ساختار این تابع هدف به نحوی تعیین شده است در لحظه تغییرات توپولوژی شبکه دارای تغییرات زانویی می‌باشد. در راستای پیش‌بینی جزیره‌شدگی ناخواسته، زمان وقوع خطا و رفع خطا بر اساس تغییرات این تابع هدف تخمین زده می‌شوند. با توجه به اینکه بهترین زمان برای پیش‌بینی جزیره‌شدگی ناخواسته بعد از رفع خطا می‌باشد لذا این دو زمان تخمین زده شده جهت تعیین بهترین پنجره محاسباتی جهت پیش‌بینی جزیره‌شدگی ناخواسته استفاده می‌شود. همچنین برای پیش‌بینی جزیره‌شدگی جهت کاهش محاسبات تابع هدف روش پیشنهادی اصلاح می‌گردد. برای نشان دادن کارایی روش ارائه شده الگوریتم ارائه شده بر روی شبکه‌ی ۳۹ باسه ۱۰ ماشین استاندارد IEEE شبیه‌سازی گردیده است. نتایج حاصل نشان می‌دهد که می‌توان به وسیله تابع هدف پیشنهادی زمان رفع خطا تخمین زده شده و جزیره‌شدگی کنترل شده با دقت مناسب پیش‌بینی گردد.

**کلمات کلیدی:** جزیره‌شدگی، پیش‌بینی، ناپایداری گذرا، بهینه‌سازی

### Prediction of transient instability and unplanned islanding using phasor measurements data

Sadegh Kamali, Turaj Amraee

**Abstract:** in this paper a new algorithm has been proposed to predict unplanned islanding. To predict unplanned islanding, rotor angle and speed time series have been used. Times of fault occurrence and clearance are estimated using monitoring system response based on the variation of phasor measure data. The estimated times of fault occurrence and clearance are used to determine suitable calculation window for uncontrolled islanding prediction. The proposed algorithm is applied to IEEE 39 bus test system. The result shows that the objective function can be used to estimate fault occurring and clearance time to predict unplanned islanding.

**Keywords:** Islanding, Prediction, Transient instability, Optimization.

## ۱- مقدمه

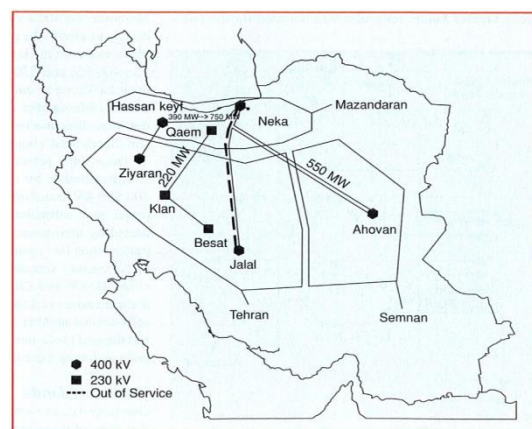
با توجه به اتفاقاتی که ذکر شد، تشخیص و پیش‌بینی جزیره شدگی در سیستم قدرت اهمیت فراوانی دارد. در صورت تشخیص زودتر می‌توان در چنین مواقعی خسارت‌های ناشی از بروز خطا یا عدم کفایت حفاظت معمولی را به حداقل رساند. با توجه به اینکه در چنین مواقعی علت وقوع جزیره شدگی غیر کنترل‌شده بیشتر ناشی از ناپایداری گذرا و تشخیص اشتباه آن توسط رله خروج از همگامی یا دیگر رله‌های امیدانسی می‌باشد [۱] لذا در این مقاله ابتدا سعی شده که جزیره شدگی خود به خودی (کنترل نشده) با پیش‌بینی ناپایداری گذرای ژنراتورها آشکارسازی شود. فرایند جزیره سازی ابعاد گسترده‌تری دارد و نیازمند اقدامات کنترلی و حفاظتی زیادی می‌باشد. در این مقاله فقط پیش‌بینی این رخداد با یک مدل بهینه مدنظر می‌باشد جزئیات کنترل جزیره سازی و ابعاد آن مورد بحث قرار نمی‌گیرد. هر طرح کنترل جزیره سازی دارای دو بخش "تعیین مکان جزیره سازی" و "تعیین زمان جزیره سازی" است که در این پژوهش با پیش‌بینی زمان جزیره سازی یکی از ابعاد فرایند جزیره سازی تعیین می‌شود. در این راستا از یک مدل بهینه‌سازی برای تعیین زمان جزیره سازی استفاده شده است.

جزیره سازی کنترل‌شده آخرین ابزار کنترلی برای کنترل جزیره شدگی ناخواسته بکار گرفته می‌شود. منظور از جزیره سازی کنترل‌شده جدا کردن شبکه‌ی قدرت از نقاط مشخص برای دستیابی به نواحی الکتریکی جدا از هم پایدار است [۴] و [۵].

جهت تعیین مکان جزیره سازی در یک شبکه قدرت بزرگ روش‌های گوناگونی را می‌توان به کار گرفت به‌عنوان مثال جزیره سازی بر اساس همپایی کند<sup>۱</sup> یکی از پرکاربردترین روش‌های جزیره سازی کنترل‌شده است. در این روش ژنراتورهای همپا در یک گروه قرار گرفته و بارهای الکتریکی به یکی از این گروه‌های همپا اختصاص می‌یابد به گونه‌ای که کمترین تفاوت بین بار و تولید در هر یک از جزیره‌ها ایجاد گردد. مجزا کردن گروه‌های غیر همپا از هم و قرار دادن گروه‌های همپا در یک جزیره می‌تواند همگامی را به‌طور غیرمستقیم پس از جزیره سازی تضمین کند. [۵] و [۶]. تحقیقاتی زیادی در تعیین مرزهای جزیره شدگی انجام شده است به‌عنوان نمونه مراجع [۷]، [۸]. بر اساس کمینه کردن تفاوت تولید و مصرف در هر یک از جزیره‌ها، مرزهای هر یک از ناحیه‌ها را به دست آورده‌اند.

با وجود اینکه مطالعات کمی برای تشخیص زمان جزیره سازی انجام گردیده است، بیشتر روش‌ها، اخیراً برای شناسایی یا پیش‌بینی جزیره شدگی بکار گرفته شده است که بر مبنای روش‌های داده‌کاوی و هوش مصنوعی به کمک اطلاعات غیر برخط استوار بوده است [۴]. به‌عنوان مثال در مرجع [۹] با استفاده از یک جدول که در آن ترتیب خروج خطوط در حالت جزیره شدگی کنترل نشده بدست آمده به‌صورت برخط سیستم را پایش می‌کند و جزیره شدگی از طریق تطبیق با این جدول تشخیص داده می‌شود در این روش تنها تشخیص بهنگام صورت می‌گیرد و پیش‌بینی

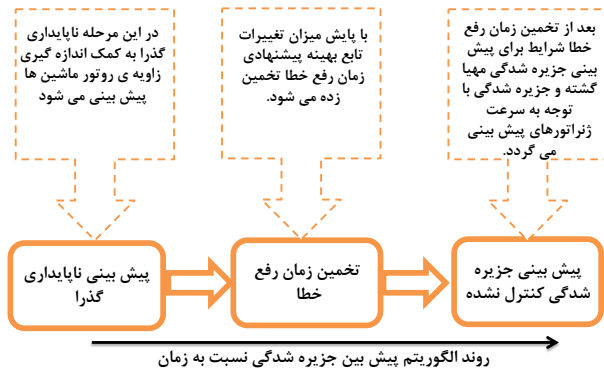
سیستم‌های قدرت در برخی نقاط جهان در چند دهه اخیر خاموشی‌های گوناگونی را به‌صورت محلی یا سراسری تجربه کرده است. به‌عنوان مثال خاموشی سراسری که در آگوست سال ۲۰۰۳ در شمال غربی آمریکا رخ داد منجر به قطع ۵۰ گیگاوات برق از شبکه شد. این خاموشی باعث شد ۵۰ میلیون مشترک دچار بی‌برقی شوند. همچنین در جولای و اگست سال ۱۹۹۶ یک اغتشاش بزرگ باعث بی‌برق شدن چندین میلیون مشترک گردید. به‌طور معمول چنین اتفاقاتی زمانی رخ می‌دهد که سیستم به‌صورت سنگین بارگذاری شده و دو یا چند خروج المان در سیستم با فاصله‌ی زمانی کوچکی رخ بدهد. این شرایط باعث می‌گردد ماشین‌های الکتریکی نسبت به هم نوسان توان داشته باشند و افت شدید ولتاژ و ناپایداری زاویه رتور رخ بدهد [۱]. می‌توان از این نوع اتفاقات در کشور ایران را نیز نام برد. مهم‌ترین آن‌ها در ۱۳۸۰/۲/۳۰ ساعت ۱۲ ظهر است که با استناد به منبع [۲]، [۳] این خاموشی با وقوع یک خط روی یکی از خطوط ۴۰۰ KV نیروگاه نکا به سمت تهران شروع شده است که در آن زمان خط دیگر به جهت بازدیدها و آزمایش‌های دوره‌ای از مدار خارج بوده است. قبل از وقوع خطا ۵۵۰ مگاوات توان از نکا به آهوان منتقل می‌شد که با جدا شدن این خط توسط فرمان رله‌های حفاظتی، این انتقال توان به خطوط دیگر واگذار شد. طی این رخداد، توان انتقالی خط حسن کیف از ۳۹۰ به ۷۵۰ مگاوات افزایش یافته و با افزایش حد بارگذاری خط قائم به کلان، در نهایت ناحیه‌ی شمالی از منطقه‌ی تهران جدا شده و دو جزیره با عدم برابری تولید و مصرف ایجاد گردید. که در جزیره شمالی کم‌باری و در جزیره‌ی بایینی پرباری به وجود آمد بود [۲]. در ادامه چندین کلید هم به‌درستی عمل نکرده و شبکه دچار خاموشی شده است (نحوه‌ی اتصال جزیره‌ها در شکل ۱ نشان داده شده است) [۳].



شکل ۱: مرز بین جزیره‌های غیر کنترل‌شده در سیستم قدرت کشور ایران [۳]

<sup>1</sup> Slow Coherency

شود و در مرحله‌ی دوم با استفاده از تشخیص رفع خطا از تغییرات تابع هدف ارائه شده، جزیره شدگی کنترل نشده پیش‌بینی می‌گردد تا اقدامات تکمیلی جهت کنترل این رخداد صورت گیرد. روند پیش‌بینی در شکل ۲ به‌طور خلاصه نشان داده شده است. که در ادامه هر سه بخش مدل پیشنهادی تشریح می‌گردد.



شکل ۲: روند کنترل جزیره شدگی ناخواسته در مدل پیشنهادی

### ۳- پیش‌بینی ناپایداری گذرا

با توجه به اینکه در هر سیستم قدرت تحت اغتشاش تغییرات زاویه‌ی روتور و سرعت بر حسب زمان غیر خطی است. لذا مدل‌های خطی مرتبه پایین برای این منظور دارای دقت قابل قبولی نیستند. با توجه به اینکه پاسخ زاویه روتور ماشین‌های سنکرون به ازای یک اغتشاش به صورت تابع نوسانی نمایی است، از این رو برای پیش‌بینی این سیگنال از یک تابع هدف نمایی سینوسی استفاده شده است. به همین دلیل تابع هدف به صورت حداقل کردن میزان خطا از پاسخ نمایی سینوسی با فرکانس و میرایی مجهول انتخاب می‌گردد. هرگاه اغتشاشی در یک سیستم رخ می‌دهد تنها تعدادی از مدهای سیستم تحریک می‌شود و سیستم موردنظر دارای یک دسته مد غالب خواهد بود. لذا مدل موردنظر بر اساس رفتار سیستم در حالت گذرا به صورت زیر پیشنهاد داده می‌شود:

$$O\_F = \sum_{N=1}^{N_t} | [A + \sum_{n=1}^k B_n e^{\alpha_n t} \times \sin(\omega_n t + \varphi_n)] - y_N | \quad (1)$$

که در معادله‌ی بالا  $[A \ K_n \ B_n \ \varphi_n \ \omega_n \ \alpha_n]$  متغیرهای حالت یا پارامترهایی هستند که باید با بهینه‌سازی بدست آیند.  $K$  تعداد مدهای غالبی است که در پاسخ موردنظر تحریک شده‌اند.  $N_t$  تعداد نمونه پنجره محاسباتی است و از رابطه‌ی زیر بدست می‌آید.

$$N_t = CW_t / \Delta t \quad (2)$$

که در این رابطه  $CW_t$  طول هر پنجره‌ی محاسباتی است و  $\Delta t$  تفاوت زمانی

صورت نمی‌گیرد. مقالات کنفرانسی متعددی در این زمینه موجود است که همه‌ی آن‌ها به نحوی روش مرجع [۴] را بیان کردند.

مرجع [۱۰] با پیش‌بینی زاویه‌ی روتور هر یک از ماشین‌ها در یک محدوده‌ی مشخص زمان جزیره سازی را پیش‌بینی می‌کند. در این مقاله در هر لحظه با استفاده از اطلاعات گذشته یک بازه زمانی کوچک زاویه‌ی روتور را پیش‌بینی کرده و ریسک جداشدگی زاویه‌ی روتور را پیش‌بینی می‌کند.

در [۱۱] به پیش‌بینی جزیره شدگی بر اساس زاویه روتور ماشین‌ها پرداخته است. در این مقاله با پیش‌بینی به روش پرونی، در صورتی که بعد رفع خطا، اکثر زاویه روتور ماشین‌ها به سمت ناپایداری گذرا برود در آن صورت سیستم به جزیره شدگی ناخواسته حرکت می‌کند. در این مقاله مکان جزیره شدگی هم به روش هم پایی تشخیص داده می‌شود.

در [۱۲] یک شاخص بر مبنای انرژی ارائه شده و بر اساس این شاخص پدیده‌ی جزیره شدگی ناخواسته در مدت زمان کوتاهی بعد از وقوع خطا پیش‌بینی می‌شود. به علت اینکه این شاخص از جنس انرژی است روش پیشنهادی توانسته است در نقطه کارهای مختلف پیش‌بینی جزیره شدگی را با دقت قابل قبول انجام دهد. همچنین تغییر ساختار شبکه و خروج از همگامی ژنراتورها تأثیری بر روی دقت پیش‌بینی توسط شاخص پیشنهادی نداشته است.

در [۱۳] با توجه به اطلاعات غیر برخطی که بر اساس شبیه‌سازی در حوزه‌ی گذرا ایجاد می‌کند به پیش‌بینی پایداری گذرای شبکه می‌پردازد، و از این طریق جزیره شدگی سیستم را پیش‌بینی می‌کند. در این مقاله از روش ANFIS جهت پیش‌بینی پایداری شبکه استفاده کرده است. همچنین روش ارائه شده در شبکه ایران نیز پیاده‌سازی شده است.

هدف اصلی این مقاله پیش‌بینی زمان جزیره سازی می‌باشد. برای رسیدن به این هدف از تابع هدف پیشنهادی جهت پیدا کردن زمان مناسب برای پیش‌بینی زمان جزیره شدگی استفاده شده است. بهینه‌سازی‌های انجام شده در این مقاله با الگوریتم SBB در نرم‌افزار GAMS انجام شده است.

### ۲- الگوریتم ارائه شده برای پیش‌بینی جزیره شدگی ناخواسته

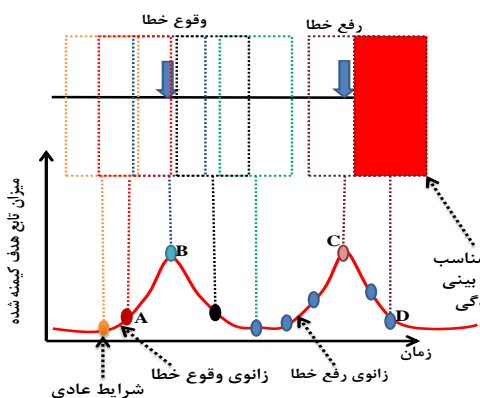
در سیستم قدرت ناپایداری گذرا و خروج از هم‌گامی ژنراتورها می‌تواند باعث وقوع رخداد‌های بزرگتری همچون خاموشی سراسری یا جزیره شدگی خود به خودی سیستم شود [۱۴]. لذا یکی از مهم‌ترین موضوعی که برای پیش‌بینی جزیره شدگی باید در نظر گرفته شود ناپایداری گذرا است.

همچنین باید در نظر داشت که جزیره شدگی کنترل نشده بعد از وقوع چندین ناپایداری گذرا در سیستم خود را نشان می‌دهد. که خسارات زیادی به سیستم قدرت وارد می‌کند. عامل وقوع جزیره شدگی خطاهای شدید و در پی آن عملکرد اشتباه رله‌های حفاظتی می‌باشد [۱۵]. در مدل ارائه شده در این مقاله ابتدا ناپایداری گذرا در مرحله‌ی اول پیش‌بینی می‌گردد تا در صورت نیاز از عملکرد ناخواسته رله‌های خروج از همگامی جلوگیری

زاویه‌ی روتور را می‌توان برای زمان‌های بعدی پیش‌بینی کرد. پیش‌بینی برای حداکثر ۰/۲ ثانیه برای انجام اقدامات لازم کافی است.

#### ۴- شناسایی وقوع خطا، رفع خطا

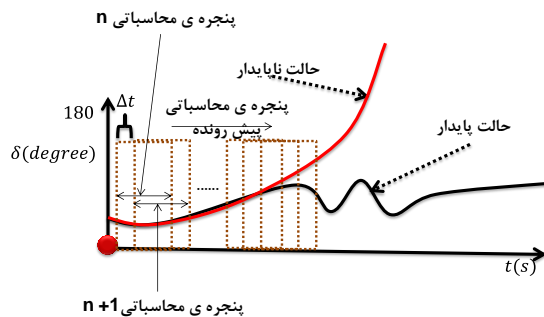
با توجه به مدل ارائه‌شده در بخش ۳ می‌توان زمان وقوع خطا و رفع خطا را با دقت مناسبی با توجه به رفتار تابع هدف تعیین نمود. همان‌طوری که در شکل ۴ دیده می‌شود در نقطه‌ی A میزان تابع هدف (رابطه (۱)) شروع به افزایش می‌کند و این نشان‌گر وقوع خطا در سیستم و تغییر پاسخ سیستم و مدهای تحریک شده می‌باشد. هرگاه زمان اعمال ورودی به سیستم داخل پنجره‌ی محاسباتی باشد، میزان تابع هدف بهینه‌شده شروع به افزایش می‌کند. این افزایش تا رسیدن زمان یک تغییر در سیستم (مثل رفع خطا یا وقوع خطا)، به وسط پنجره محاسباتی ادامه دارد. علت این موضوع داشتن دو پاسخ متفاوت در داخل پنجره‌ی محاسباتی می‌باشد چرا که قبل از وقوع خطا و بعد از وقوع خطا مدهای تحریک شده با هم متفاوت است (قبل از خطا هیچ مدی تحریک نشده و تابع ثابت خواهد بود و بعد از خطا مدهای تحریک شده تغییر پیدا می‌کند) و بیشترین خطا برای زمانی است که دقیقاً زمان وقوع خطا یا رفع خطا در وسط پنجره محاسباتی قرار گیرد. با توجه به توضیحات گفته شده رفع خطای سیستم به راحتی می‌تواند از تغییرات تابع هزینه تخمین زده شود و بعد از گذشتن پنجره محاسباتی از زمان رفع خطا شرایط برای پیش‌بینی جزیره شدگی غیرعمدی مهیا شود. باید توجه کرد که بهترین زمان برای پیش‌بینی جزیره شدگی دقیقاً بعد از رفع خطا و بر اساس پاسخ نهایی سیستم بعد از اعمال همه ورودی‌ها (وقوع خطا و رفع خطا) می‌باشد. لذا بعد از گذشتن از دومین اکستریم پنجره مربوط به پیش‌بینی جزیره سازی بدست می‌آید.



شکل ۴: نحوه‌ی تغییر تابع هدف در روند پیش‌بینی

#### ۵- بررسی کارایی مدل بهینه‌ارائه‌شده و نتایج شبیه‌سازی

بین دو اندازه‌گیری متوالی می‌باشد که با توجه به اطلاعات<sup>۱</sup> PMU، و اطلاعات مربوط به نحوه ارسال داده آن تعیین می‌گردد. منظور از پنجره-های محاسباتی پنجره‌ای است که با توجه به شکل ۳ در هر لحظه از زمان یک بازه‌ی زمانی را در برمی‌گیرد. برای پیش‌بینی زاویه‌ی روتور و سرعت آن مدل بهینه‌سازی موردنظر به ازای هر پنجره‌ی محاسباتی تکرار می‌شود. بعد از بدست آوردن پارامترهای مدل (۱) پاسخ سیستم به صورت زیر تعیین می‌گردد.



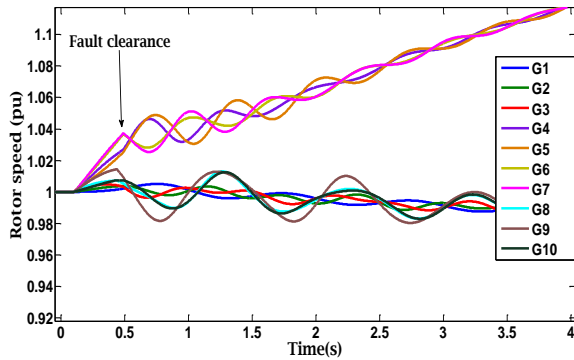
شکل ۳: نحوه‌ی حرکت کردن پنجره‌ی محاسباتی برای پیش‌بینی نمودار زاویه‌ی روتور

$$\text{Rotor\_angle or Rotor\_speed} = A + \sum_{n=1}^k B_n e^{\alpha_n t} \times \sin(\omega_n t + \varphi_n) \quad (3)$$

باید توجه داشت که انتخاب مقادیر بزرگ برای پنجره‌ی محاسباتی باعث می‌شود که پیش‌بینی زیاد معتبر نباشد، زیرا با انتخاب  $CW_t$  بیشتر احتمال دارد که در هر پنجره محاسباتی چندین تغییر وضعیت در سیستم رخ بدهد. در نتیجه تغییر مدهای نوسانی ایجاد شده و خطای پیش‌بینی زیاد گردد (در داخل پنجره محاسباتی دو پاسخ جدا از هم وجود داشته باشد). لذا بهترین  $CW_t$ ، کوچک‌تر از زمان بین متوسط ناپایداری گذرا در یک سیستم و رفع خطای معمول می‌باشد که با ایجاد خطاهای مکرر و مطالعات گسترده پایداری گذرا بدست می‌آید. این مقدار به ازای هر سیستم مطالعاتی متفاوت بوده و بیشتر به حد آستانه‌ی تحمل سیستم برای پایدار ماندن تحت اغتشاش بستگی دارد. علت استفاده از این مقدار، قرار گرفتن پنجره‌ی محاسباتی در بین زمان ناپایداری و رفع خطاست. تا یک پاسخ زمانی در پنجره محاسباتی قرار گیرد و دقت پیش‌بینی افزایش یابد (هرگاه در سیستم خطا رخ می‌دهد یک دسته مد در پاسخ زمانی تحریک می‌شود که به محض ناپایدار شدن یک ژنراتور مدهای تحریک شده تغییر پیدا می‌کنند). این موضوع در قسمت بعدی بیشتر توضیح داده می‌شود. بعد از هر بار بهینه‌سازی پارامترهای مدل پیش‌بین تعیین می‌گردد. بعد از تعیین این مقادیر، با توجه به معادله‌ی (۳) سرعت یا

<sup>۱</sup> Phasor Measurement Unit

شکل ۶: نحوه تغییرات زاویه روتور ماشین ۱ در اثر خطای سه فاز متقارن اعمال شده به باس ۱۶ با رفع خطای ۳۵۰ میلی ثانیه با خروج خط

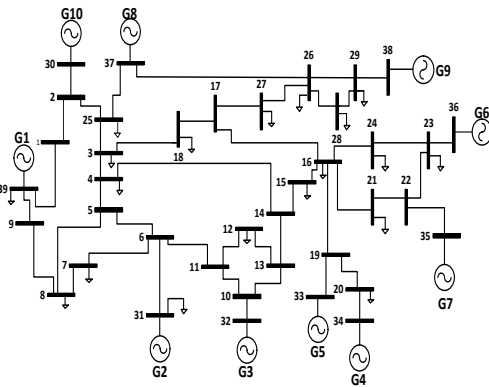


شکل ۷: نمودار سرعت ژنراتورهای شبکه ۳۹ باس بعد از اعمال خطای ۳ فاز متقارن به باس ۱۶ با رفع خطای ۳۵۰ میلی ثانیه با خروج خط

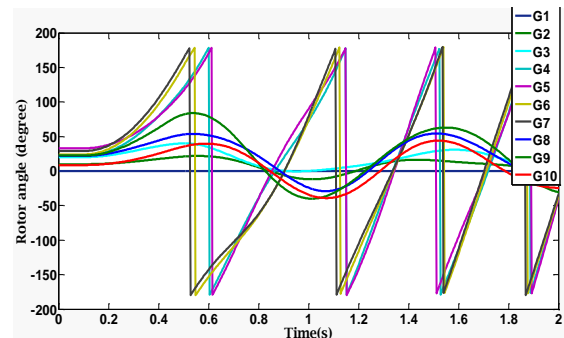
جدول ۱: مدهای تحریک شده در هر یک از پاسخ‌ها، به ازای خطای ۳ فاز روی باس ۱۶ در لحظه ۰/۱ ثانیه و با رفع خطای ۳۵۰ میلی ثانیه برای پیش‌بینی زاویه روتور

شماره ماشین	متغیرهای حالت و تابع هزینه	شماره ماشین	متغیرهای حالت و تابع هزینه
۱	$O_F=0.234$ $A=46.441$ $k=3$ $B=[8.5360 \ 8.5470 \ 8.5740]$ $\alpha=[3.0030 \ 3.0620 \ 3.2450]$ $\omega=[4.1450 \ 4.1870 \ 5.2030]$ $\varphi=[-1.0710 \ -1.0520 \ -1.4850]$	۶	⊗
۲	$O_F=0.257$ $A=57.666$ $k=3$ $B=[10.8440 \ 10.6100 \ 6.9890]$ $\alpha=[2.6150 \ 3.1580 \ 2.8920]$ $\omega=[5.2910 \ 4.5620 \ 4.7560]$ $\varphi=[-1.5780 \ -1.2580 \ -1.3160]$	۷	
۳	$O_F=0.110$ $A=37.38$ $k=3$ $B=[5.4200 \ 5.2740 \ 4.4760]$ $\alpha=[0.5380 \ 0.7510 \ 0.1840]$ $\omega=[6.0000 \ 6.0000 \ 5.5260]$ $\varphi=[-1.9210 \ -1.9580 \ -2.0810]$	۸	
۴	$O_F=0.102$ $A=45.2280$ $k=3$ $B=[6.9610 \ 6.9610 \ 6.9190]$ $\alpha=[1.5750 \ 1.5750 \ 1.4610]$ $\omega=[6.0000 \ 6.0000 \ 5.0520]$ $\varphi=[-1.8890 \ -1.8890 \ -1.6440]$	۹	
۵	$O_F=0.060$ $A=20.6850$ $k=3$ $B=[-5.3540 \ -4.4950 \ -3.5300]$ $\alpha=[2.6350 \ -3.9140 \ 1.2600]$ $\omega=[6.2350 \ 5.1790 \ 7.8730]$ $\varphi=[0.5478 \ 1.4348 \ 1.5758]$	۱۰	

در این قسمت برای نشان دادن کارایی روش پیشنهادی این روش را با روش‌های مرسوم و پرکاربرد دیگر که اکثراً در پیش‌بینی مورد استفاده قرار می‌گیرند مقایسه می‌شود. با توجه به اینکه این روش در مراجع [۱۶] و [۱۷] ارائه شده است تئوری آن‌ها در این مقاله مورد بحث قرار نمی‌گیرد و تنها نتایج حاصل از این روش جهت مقایسه با پیش‌بینی توسط مدل بهینه‌سازی پیشنهادی ارائه می‌گردد. بدین جهت یکی از پاسخ‌های شبکه‌ی ۳۹ باس ۱۰ ماشین استاندارد IEEE که در شکل ۵ نشان داده شده به خطای سه فاز متقارن مورد بررسی قرار می‌گیرد. (اطلاعات دقیق شبکه ۳۹ باس در مرجع [۱۸] موجود می‌باشد) در شکل ۶ در باس ۱۶ با رفع خطای سه فاز متقارن بعد از اعمال خطای سه فاز متقارن در  $t=0/1$  SEC و ورودی دوم در  $t=0/450$  SEC. سرعت ژنراتورها نیز در شکل ۷ نشان داده شده است. برای پیش‌بینی زاویه روتور و سرعت هر یک از ژنراتورها بایستی تابع بهینه معادله ۱ برای هر ۱۰ ژنراتور به‌طور جداگانه بهینه گردد تا اینکه مقادیر متغیرهای حالت مورد نیاز جهت پیش‌بینی بدست آید. نتایج پیش‌بینی توسط تابع بهینه برای هر ۱۰ ماشین قبل از رفع خطا در جدول ۱ آمده است. همان‌طوری که در جدول ۱ دیده می‌شود هر ژنراتوری دارای پاسخ منحصر به فردی است ولی برخی ژنراتورها مشابه هم می‌باشند. از آنجایی که مدهای تحریک شده بعد از رفع خطا با قبل از رفع خطا متفاوت باشد مدهای بعد از رفع خطای ماشین ۱ تا ۱۰ نیز در جدول ۲ آمده است.



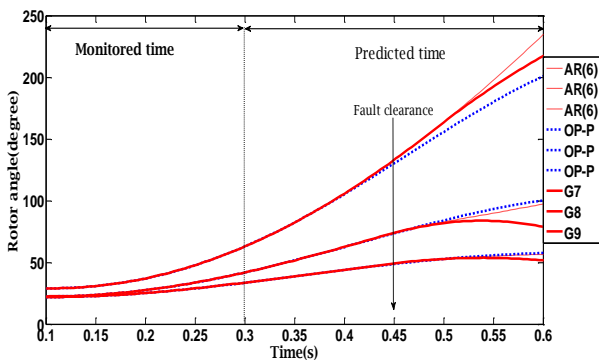
شکل ۵: شبکه ۳۹ باس ۱۰ ماشین استاندارد IEEE



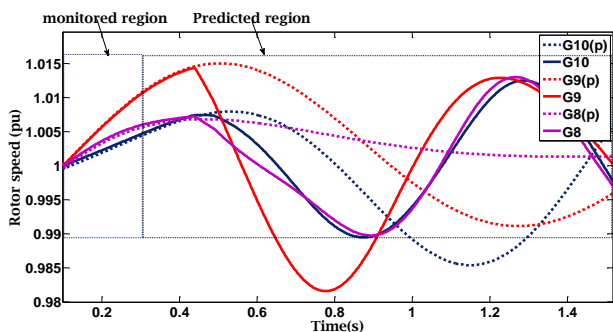
**جدول ۲:** مدهای تحریک شده بعد از رفع خطا در لحظه ۶۵۰ میلی‌ثانیه برای زاویه‌ی روتور (ژنراتور یک مرجع می‌باشد)

شماره ماشین	متغیرهای حالت و تابع هزینه	شماره ماشین	متغیرهای حالت و تابع هزینه
۱	$O\_F=0.187$ $A=6.713$ $k=1$ $B=[2.805]$ $\alpha=[0.712]$ $\omega=[3.750]$ $\varphi=[1.0178]$	۶	⊗
۲	$O\_F=0.226$ $A=5.384$ $k=1$ $B=[3.196]$ $\alpha=[0.308]$ $\omega=[0.741]$ $\varphi=[3.970]$	۷	$O\_F=0.081$ $A=6.681$ $k=1$ $B=[2.186]$ $\alpha=[0.968]$ $\omega=[4.230]$ $\varphi=[0.647]$
۳	$O\_F=0.072$ $A=7.2$ $k=1$ $B=[2.512]$ $\alpha=[0.905]$ $\omega=[4.035]$ $\varphi=[0.761]$	۸	$O\_F=0.077$ $A=6.70$ $k=1$ $B=[2.857]$ $\alpha=[0.692]$ $\omega=[3.733]$ $\varphi=[1.048]$
۴	$O\_F=0.09$ $A=9.442$ $k=1$ $B=[4.5960]$ $\alpha=[0.612]$ $\omega=[4.298]$ $\varphi=[0.297]$	۹	$O\_F=0.161$ $A=9.345$ $k=1$ $B=[5.788]$ $\alpha=[0.399]$ $\omega=[4.487]$ $\varphi=[0.486]$
	$O\_F=0.190$ $A=6.117$ $k=1$ $B=[2.609]$ $\alpha=[0.671]$ $\omega=[3.613]$ $\varphi=[1.085]$	۱۰	$O\_F=0.147$ $A=9.344$ $k=1$ $B=[5.80]$ $\alpha=[0.401]$ $\omega=[4.495]$ $\varphi=[0.494]$

برای همه ژنراتورها تابع هدف گفته شده در معادله ۱ را بهینه نموده و زاویه روتور را پیش‌بینی نمود. اما با توجه به شکل ۱۰ به راحتی دیده می‌شود که با رسیدن پنجره محاسباتی به زمان رفع خطا، تابع هدف شروع به زیاد شدن می‌کند و این روند تا رسیدن رفع خطا به نقطه میانی پنجره محاسباتی ادامه دارد. لذا هرگاه پیش‌بینی با روش گفته شده، وقوع ناپایداری را در فاصله دورتر پیش‌بینی کرد بهتر است که اقدامی صورت نگیرد. تا نقطه رفع خطا از داخل پنجره محاسباتی خارج شود، چرا که ممکن است رفتار پاسخ عوض شود (مدهای تحریک شده به علت رفع خطا عوض شود) و از طرفی هم خطای پیش‌بینی در حالتی که زمان رفع خطا در داخل پنجره محاسباتی است زیاد است و استناد به آن چندان معتبر نمی‌باشد. در شکل ۱۰ مقدار ماکزیمم مربوط به زمانی است که رفع خطا دقیقاً در وسط پنجره محاسباتی قرار دارد. این شکل میزان تابع هدف را با فاصله زمانی یک سیکل (۰/۲۵) نشان می‌دهد. زمان لازم به ازای هر بار اجرای الگوریتم در هر فاصله زمانی ۰/۰۱ ثانیه است. با توجه به رشد تابع هدف به راحتی زمان رفع خطا شناسایی می‌شود. لذا اگر چنان چه از این روش برای پیش‌بینی جزیره سازی استفاده شود در آن صورت بایستی بعد از گذر کردن زمان رفع خطا از پنجره محاسباتی با بهینه کردن تابع هدف اصلاح شده معادله (۴) به پیش‌بینی جزیره شدگی پرداخت.



شکل ۸: پیش‌بینی زاویه‌ی روتور ژنراتورهای ۷، ۸ و ۹ با مدل بهینه ارائه شده و AR درجه‌ی ۶



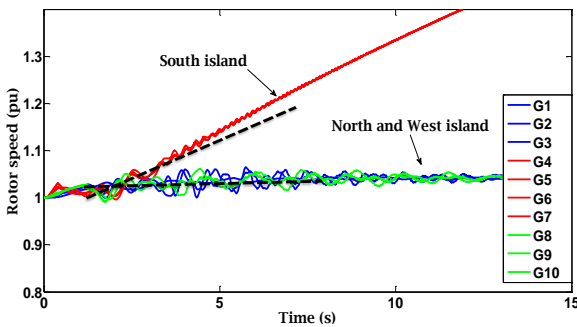
شکل ۹: پیش‌بینی سرعت ژنراتورهای ۷، ۸ و ۹ با مدل بهینه ارائه شده و AR درجه‌ی ۶

برای نشان دادن اعتبار الگوریتم مذکور نتایج این روش با روش AR مقایسه می‌شود. در روش پیشنهادی لازم نیست که بعد از خطا برای زمان‌های زیاد پیش‌بینی کند چرا که در هر لحظه با در نظر گرفتن اطلاعات پنجره محاسباتی نتایج پیش‌بینی مدام به‌روزرسانی می‌شود و پیش‌بینی ۲۰۰ میلی‌ثانیه بعد از انتهای پنجره محاسباتی جهت پیشگیری و انجام اقدامات کنترلی کافی است. در شکل ۸ و شکل ۹ نتایج حاصل از پیش‌بینی زاویه روتور و سرعت ژنراتور به عنوان نمونه نشان داده شده است. با توجه به شکل‌ها دیده می‌شود، که پیش‌بینی بر اساس روش ارائه شده دقت مناسبی را از خود نشان می‌دهد به طوری که قبل از رفع خطا تقریباً اختلاف نمودار پیش‌بینی شده با نمودار اصلی برابر صفر است. اما بعد از رفع خطا به علت عوض شدن مدهای تحریک شده پاسخ سیستم، مقدار پیش‌بینی شده از مقدار اصلی جدا می‌شود. مدل AR که از معتبرترین روش‌های پیش‌بینی سری زمانی است دارای دقت مناسبی بوده که در مجموع پیش‌بینی با مدل ارائه شده و مدل AR تقریباً دقت یکسانی را از خود نشان دادند. در تمامی پیش‌بینی‌ها طول پنجره محاسباتی ۰/۲ ثانیه در نظر گرفته شده است. برای استفاده از روش‌های گفته شده برای پیش‌بینی ناپایداری گذرا کافی است

دارای شیب متفاوتی است لذا بایستی یک ناحیه به صورت جزیره از شبکه جدا شود. نحوه جدا کردن جزیره‌ها در این مقاله مدنظر نبوده و در این قسمت تنها این رخداد پیش‌بینی شده است.

جدول ۳: نتایج پیش‌بینی برای حالت جزیره شدگی با تابع هدف اصلاح شده

جزیره شمالی و غربی	جزیره جنوبی
$O_{-F} = 0.24474$	$O_{-F} = 0.9800$
$k_2 = 2 \quad A = 1.0064$	$k_2 = 2 \quad A = 0.98443$
$D_m = [0.0072202 \quad -0.00034845]$	$D_m = [0.030581 \quad 0.00033643]$

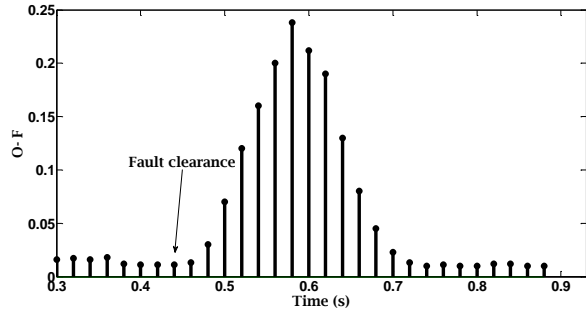


شکل ۱۱: نحوه تغییرات سرعت ژنراتورها بعد از اعمال خطای ۳ فاز در باس ۱۶ و با رفع خطای ۳۰۰ میلی ثانیه

تداخل این روش با نوسان توان و ادوات جبران گر... وجود نخواهد داشت. هم چنین توسط این روش به راحتی زمان رفع خطا از طریق تشخیص افزایش تابع هدف قابل تخمین است. و بعد از تخمین رفع خطا به راحتی می توان با مدل اصلاح شده، جزیره شدگی را پیش‌بینی نمود و شرایط را برای اقدامات کنترل جزیره شدگی مهیا ساخت.

### ۶- نتیجه گیری

جزیره شدگی ناخواسته فرایندی است که باید با توجه به توپولوژی نهایی سیستم قدرت و بعد از رفع خطا (نه در حین خطا) پیش‌بینی گردد. از آنجایی که در روش‌های پیش‌بینی که تاکنون در این راستا ارائه شده است قابلیت تخمین زمان رفع خطا وجود ندارد لذا در پیش‌بینی جزیره شدگی ناخواسته نمی توان از این روش‌ها بهره گرفت. تابع هدف پیشنهادی با توجه به مدهای تحریک شده در حین اغتشاش و بعد از اغتشاش مدل گردید تا با تغییر توپولوژی در هر لحظه‌ای تابع هدف دارای تغییرات زانویی باشد ( به علت تغییر مدهای تحریک شده). این تغییرات جهت تخمین زمان رفع خطا و وقوع خطا مورد استفاده قرار می‌گیرد تا لحظه مناسب برای پیش‌بینی جزیره شدگی ناخواسته تعیین گردد. همچنین به علت اینکه این روش بر مبنای داده های اندازه گیری واحدهای فازی می باشد لذا برخلاف روش های سنتی پیش بین که در سیستم قدرت بر مبنای تغییرات امیدانس دیده شده انجام می‌گردد (رله‌های امیدانسی) دچار هم پوشانی با رخداد های دیگر (مثل نوسان توان) نخواهد بود.



شکل ۱۰: نحوه تغییرات تابع هدف برای یک ماشین با رفع خطا در زمان ۴۵۰ میلی ثانیه

$$O_{-F} = \sum_{N=1}^{N_1} |A + \sum_{n=1}^k B_n e^{\alpha_n t} \times \sin(\omega_n t + \phi_n) + \sum_{m=1}^{k_2} D_m t^m| - y_N \quad (4)$$

$$k_2 = 1 \text{ or } 2$$

که در آن  $\sum_{m=1}^{k_2} D_m t^m$  تابع درجه‌ی m می‌باشد که با اضافه شدن به تابع هزینه، الگوریتم را در پیش‌بینی سرعت ژنراتور کمک می‌کند. در شرایط جزیره شدگی تفریق سرعت ژنراتورها از  $A + \sum_{m=1}^{k_2} D_m t^m$  یک تابع نمایشی سینوسی است. با توجه به طبقه‌بندی‌هایی که در مراجع [۴] و [۵] صورت گرفته وقتی پدیده جزیره شدگی در سیستم قدرت رخ می‌دهد ژنراتورهای هم گروه دارای سرعت تقریباً برابر هستند ولی با ژنراتورهای دیگر گروه‌ها در حال جدا شدن الکتریکی است. در رفتار جزیره شدگی معیار فاصله، سرعت سنکرون جزیره‌ها می‌باشد (یا زاویه‌ی روتور) که در مرجع [۴] نیز آمده است. اما از این که این فاصله چه قدر باشد تا به عنوان جزیره شدگی در نظر گرفته شود تاکنون روش کارآمدی ارائه نشده است (نسبت به زمان چقدر در نظر گرفته شود). با این وجود مقدار آستانه این فاصله تأثیری در کارایی روش پیشنهادی در این مقاله ندارد، چون می‌توان با افزایش افق پیش‌بینی، جزیره شدگی بر مبنای فاصله گفته شده را با اطمینان بیشتری شناسایی کرد (در پیش‌بینی ناپایداری گذرا مجاز به پیش‌بینی طولانی مدت نیستیم ولی در جزیره شدگی می‌توان پیش‌بینی طولانی مدت انجام داد چرا که بعد از رفع خطا انجام می‌پذیرد. به همین علت زمان رفع خطا برای مدل پیش‌بینی جزیره شدگی لازم می‌باشد تا افق پیش‌بینی در این لحظه زیاد شود). با این توضیحات نیازی به تخمین قسمت نوسانی تابع هدف معادله (۴) نبوده و تنها  $A + \sum_{m=1}^{k_2} D_m t^m$  به عنوان تابع هدف مدنظر قرار می‌گیرد. به عنوان مثال به ازای یکی از خطاها با رفع خطای ۳۰۰ میلی ثانیه تغییرات سرعت ژنراتورها در شکل ۱۱ نشان داده شده است. با توجه به این شکل سرعت هر دو گروه از ژنراتورها به با دقت مناسبی به کمک  $A + \sum_{m=1}^{k_2} D_m t^m$  پیش‌بینی شده‌اند که با خطوط مقطع نشان داده شده است. نتایج هر دو بهینه‌سازی به کمک روش SBB نرم‌افزار GAMS در جدول ۳ آمده است که نشان گر دو خط ساده می‌باشند. با توجه به این خطوط که قبل از شروع جزیره شدگی تخمین زده شده‌اند. براحتی رفتار سرعت ژنراتورها برای ثانیه‌های بعد مورد بررسی قرار می‌گیرد و می‌توان در مرحله‌ی کنترل جزیره سازی از آن استفاده نمود. از آنجایی که دو جزیره دارای تغییرات یکسانی هستند و تنها یک جزیره

- Modulated Particle Swarm Optimization based islanding of large-scale power systems." *Advanced Engineering Informatics* 23, no. 1 (2009): 45-56.
- [8] You, Haibo, Vijay Vittal, and Xiaoming Wang. "Slow coherency-based islanding." *Power Systems, IEEE Transactions on* 19, no. 1 (2004): 483-491.
- [9] Sun, Kai, Tarlochan S. Sidhu, and Ming Jin. "Online pre-analysis and real-time matching for controlled splitting of large-scale power networks." In *Future Power Systems, 2005 International Conference on*, pp. 6-pp. IEEE, 2005.
- [10] Sun, Kai, Kyeon Hur, and Pei Zhang. "A new unified scheme for controlled power system separation using synchronized phasor measurements." *IEEE Transactions on Power Systems* 26, no. 3 (2011): 1544-1554.
- [11] Senroy, Nilanjan, and Gerald T. Heydt. "Timing of a controlled islanding strategy." In *2005/2006 IEEE/PES Transmission and Distribution Conference and Exhibition*, pp. 1460-1466. IEEE, 2006.
- [12] Kamali, Sadegh, Turaj Amraee, and Seyed Mohammad Taghi Bathaee. "Prediction of unplanned islanding using an energy based strategy." *IET Generation, Transmission & Distribution* 10, no. 1 (2016): 183-191.
- [13] Isazadeh, Ghader, Amin Khodabakhshian, and Eskandar Gholipour. "New intelligent controlled islanding scheme in large interconnected power systems." *IET Generation, Transmission & Distribution* 9, no. 16 (2015): 2686-2696.
- [14] Adibi, M. M., R. J. Kafka, Sandeep Maram, and Lamine M. Mili. "On power system controlled separation." *Power Systems, IEEE Transactions on* 21, no. 4 (2006): 1894-1902.
- [15] Yang, Bo, Vijay Vittal, and Gerald T. Heydt. "Slow-Coherency-Based Controlled Islanding & A Demonstration of the Approach on the August 14, 2003 Blackout Scenario." *Power Systems, IEEE Transactions on* 21, no. 4 (2006): 1840-1847.
- [16] Marple Jr, S. Lawrence. "Digital spectral analysis with applications." Englewood Cliffs, NJ, Prentice-Hall, Inc., 1987, 512 p. 1 (1987).
- [17] Ljung, Lennart. *System identification*. Birkhäuser Boston, 1998.
- [18] [http://psdyn.ece.wisc.edu/IEEE\\_benchmarks](http://psdyn.ece.wisc.edu/IEEE_benchmarks)
- در این مقاله برای پیش‌بینی سیگنال زمانی سرعت و زاویه روتور ژنراتورها از تابع هدف پیشنهادی استفاده شد و دقت پیش‌بینی سیگنال زمانی به‌وسیله این تابع هدف، از طریق مقایسه با روش AR مورد ارزیابی قرار گرفت. همچنین دیده شد که جهت پیش‌بینی جزیره شدگی ناخواسته به کمک تابع هدف ارائه‌شده باید زمان مناسب برای پیش‌بینی مشخص گردد. پنجره محاسباتی مناسب (زمان مناسب) برای پیش‌بینی جزیره شدگی ناخواسته اولین پنجره بعد از رفع خطا می‌باشد. در این راستا زمان رفع خطا و وقوع خطا نیاز به شناسایی است که از طریق تغییرات زانویی تابع هدف پیشنهادی قابل شناسایی است. با توجه به اینکه جزیره شدگی ناخواسته به فاصله الکتریکی زاویه و سرعت روتور ژنراتورها بستگی داشت به همین دلیل نیازی به قسمت نوسانی سرعت و زاویه روتور ژنراتورها بعد از رفع خطا نبود در نتیجه تابع هدف اصلاح شده به کمک اطلاعات دستگاه‌های اندازه‌گیری در داخل پنجره محاسباتی برای جزیره شدگی استفاده شد.
- نتایج شبیه‌سازی در شبکه استاندارد ۳۹ باسه IEEE به ازای سناریوی خطایی که منجر به جزیره‌سازی ناخواسته می‌گردد نشانگر آن است که روش مورد نظر در تخمین زمان وقوع خطا و رفع خطا از دقت مورد قبولی برخوردار است. که در ادامه این زمان‌ها برای تشخیص پنجره مناسب پیش‌بینی جزیره شدگی مورد استفاده قرار گرفت و جزیره شدگی ناخواسته با تابع هدف اصلاح یافته پیش‌بینی گردید.

## مراجع

- [1] Power swing and out-of-step consideration on transmission lines IEEE PSRC WG D6
- [۲] فرزین پرنیان "تحلیل فروپاشی شبکه‌ی کشور در تاریخ ۸۰/۲/۳۰"، گروه بهره‌برداری شبکه، پژوهشکده‌ی برق، پژوهشگاه نیرو تهران، ایران
- [3] M.Sanaye-pasand, "scrutiny of the Iranian national grid", IEEE power & energy magazine, 2007.
- [4] Senroy, Nilanjan, Gerald T. Heydt, and Vijay Vittal. "Decision tree assisted controlled islanding." *Power Systems, IEEE Transactions on* 21, no. 4 (2006): 1790-1797
- [5] Xu, Guangyue, Vijay Vittal, Anatoliy Meklin, and Jon Eric Thalmann. "Controlled islanding demonstrations on the WECC system." *Power Systems, IEEE Transactions on* 26, no. 1 (2011): 334-343.
- [6] Ahmed, S. Shahnawaz, Narayan Chandra Sarker, Azhar B. Khairuddin, Mohd Ruddin B. Abd Ghani, and Hussein Ahmad. "A scheme for controlled islanding to prevent subsequent blackout." *Power Systems, IEEE Transactions on* 18, no. 1 (2003): 136-143.
- [7] Liu, Li, Wenxin Liu, David A. Cartes, and Il-Yop Chung. "Slow coherency and Angle